

耐量子計算機暗号と量子情報の数理

多変数多項式暗号 1 :
署名方式の構成

古江 弘樹

東京大学 情報理工学系研究科 数理情報学専攻 博士課程2年

2022/8/4

概要

耐量子計算機暗号 (Post Quantum Cryptography)

- ・ **多変数多項式暗号**

- 有限体上の二次多項式系の求解問題 (MQ 問題) に基づいて構成

- ・ 格子暗号

- ・ 同種写像暗号

- ・ 符号暗号

- ・ ハッシュ関数署名

本講演では

署名方式の構成法を

中心に紹介していく

NIST PQC における多変数多項式暗号

NIST Post-Quantum Cryptography Standardization

- Round 1 2017/12~

多変数多項式暗号 9 / 69 件 (署名方式 : 7 件、暗号方式 : 2 件)

- Round 2 2019/01~

多変数多項式暗号 4 / 26 件 (署名方式 : 4 件、暗号方式 : 0 件)

- Round 3 2020/07~

多変数多項式暗号 2 / 15 件 (署名方式 : 2 件、暗号方式 : 0 件)

(Finalist: **Rainbow**, Alternate candidate: **GeMSS**)

- Selected Algorithms, Round 4 には選ばれなかった

目次

- 多変数多項式暗号
- Matsumoto-Imai
- HFE
- UOV
- Rainbow
- QR-UOV
- まとめ

MQ 問題

\mathbb{F}_q : 要素数 q の有限体

有限体 \mathbb{F}_q 上の連立二次方程式の求解問題

- n : 変数の数
- m : 多項式の数

MQ (Multivariate Quadratic equations) 問題

Given $\mathcal{F} = (f_1, \dots, f_m) \in \mathbb{F}_q[x_1, \dots, x_n]^m$ with $\deg f_i = 2$,

find *one solution* $(a_1, \dots, a_n) \in \mathbb{F}_q^n$ such that

$$\mathcal{F}(a_1, \dots, a_n) = \mathbf{0} \in \mathbb{F}_q^m.$$

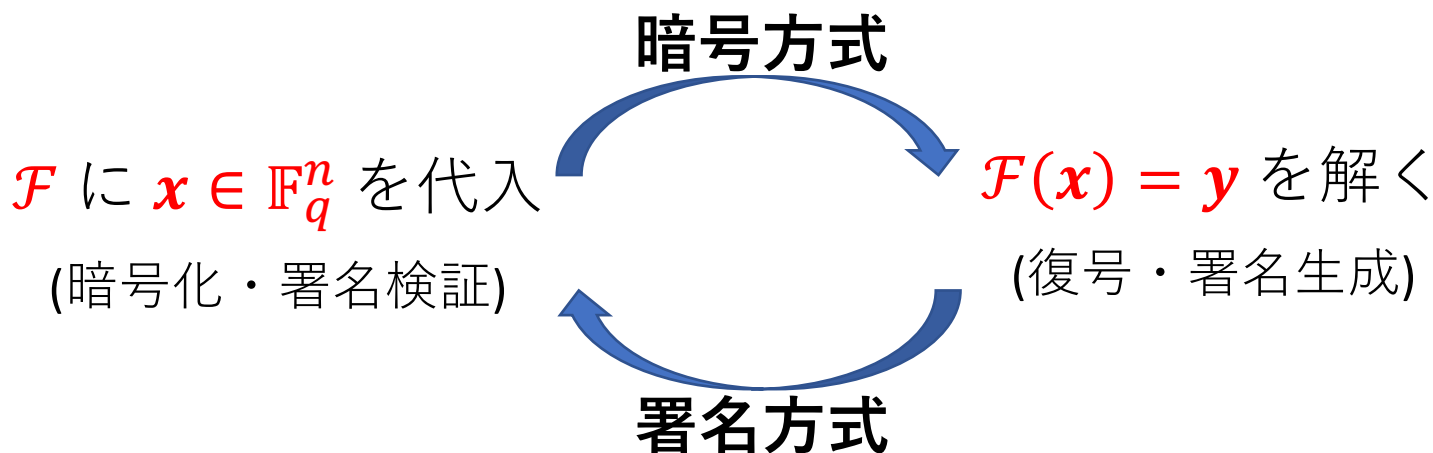
多変数多項式暗号

MQ function \mathcal{F}

- ・ 解を求めるのは困難 (**NP-complete** [Garay and Johnson, 79])
- ・ 解を確かめるのは容易

\mathcal{F} に解 (a_1, \dots, a_n) を代入すれば良い

秘密鍵を利用すれば効率的に解の計算が可能な \mathcal{F} を準備



多項式の次数について

次数が3次以上の多項式は使用しないのか？

- ひとつの多項式あたりのデータサイズが増える

$$\begin{array}{ccc} n \text{ 変数 2 次} & & n \text{ 変数 3 次} \\ \left(\binom{n+2}{2}\right) \text{ 単項式} & \longrightarrow & \left(\binom{n+3}{3}\right) \text{ 単項式} \end{array}$$

- 安全性が飛躍的に向上するわけではない
 - 2次のケースでの求解手法 (F4, F5, XL) がそのまま適用可能
- いくつかの手法が提案されている

Cubic UOV [X. Nie et al., Inscrypt'15]

Cubic ABC [Ding et al., PQCrypto'14]

Cubic MFE [Lu et al., Int. J. Netw. Secur.'18]

多変数多項式署名

以降、署名方式に話を限定する

- Round 2 以降の多変数多項式暗号は全て署名方式
- いくつかの暗号方式が提案されている
(そのうち多くに対して効率的な攻撃手法が提案)
 - Matsumoto-Imai (Encryption) [Matsumoto, Imai, EUROCRYPT 1988]
 - Simple Matrix (ABC) encryption scheme [Tao et al., PQCrypto 2013]
 - Rectangular Simple Matrix [Tao et al., Finite Fields Th. App. 2015]
- 次ページより、標準的な署名方式の構成方法を紹介
※ 例外：Identification Scheme に基づいた構成 (MQDSS など)

[Chen et al., ASIACRYPT 2016]

鍵生成

- n : 変数の数
- m : 多項式の数 ($n \geq m$)

① 中心写像 [Central map]

$$\mathcal{F} = (f_1, \dots, f_m): \mathbb{F}_q^n \rightarrow \mathbb{F}_q^m \quad \text{[quadratic map]}$$

- $\forall \mathbf{y} \in \mathbb{F}_q^m$ に対して、 $\mathcal{F}(\mathbf{x}) = \mathbf{y}$ をみたすひとつの $\mathbf{x} \in \mathbb{F}_q^n$ を効率的に計算可能 (以降 \mathcal{F}^{-1} と表記)
- 構成方法は各方式に依存

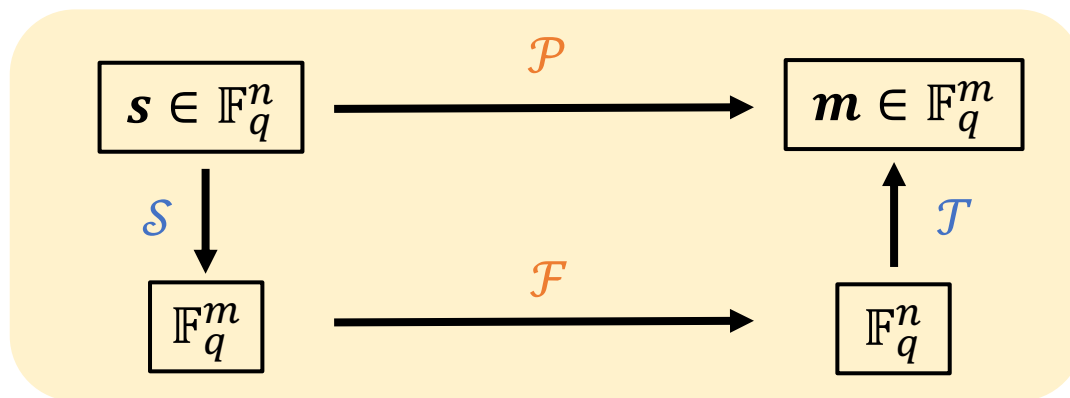
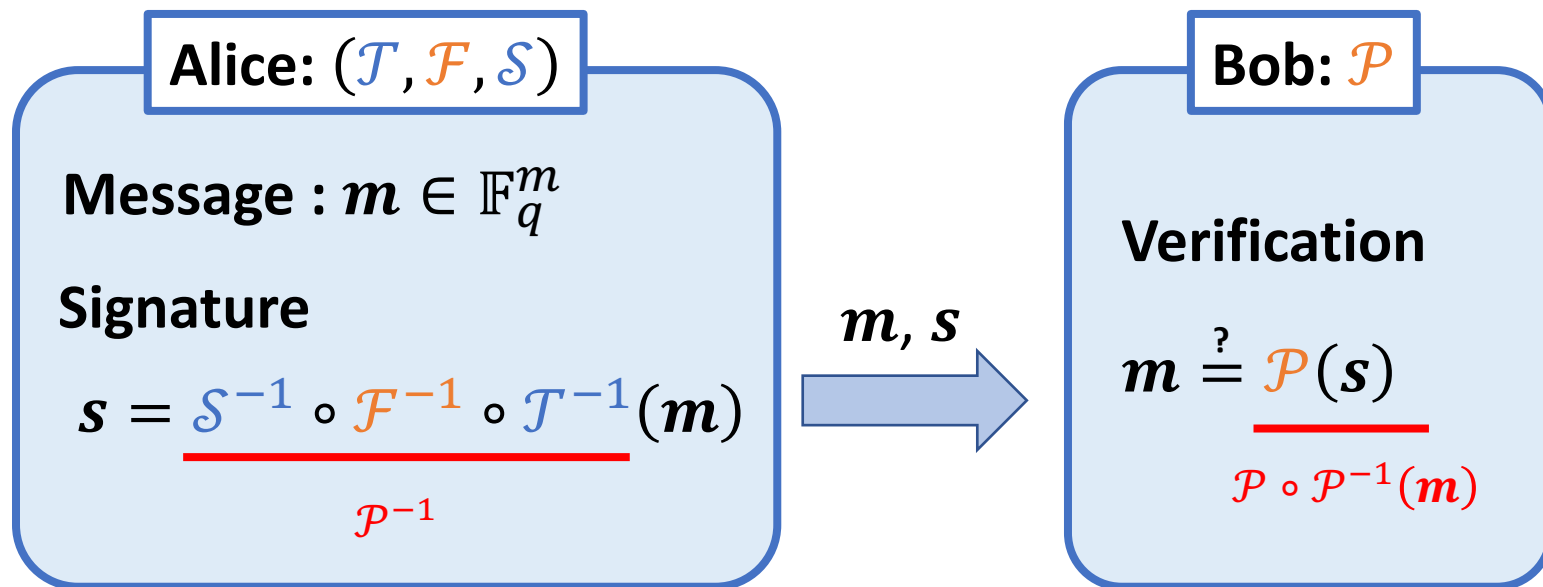
\mathcal{F} の構造を隠す

② $\mathcal{T}: \mathbb{F}_q^m \rightarrow \mathbb{F}_q^m, \mathcal{S}: \mathbb{F}_q^n \rightarrow \mathbb{F}_q^n$ [affine map]

③ $\mathcal{P} = \mathcal{T} \circ \mathcal{F} \circ \mathcal{S}$ [quadratic map]

Public Key: \mathcal{P} , **Secret Key:** $(\mathcal{T}, \mathcal{F}, \mathcal{S})$

署名生成と検証方法



特徴

Advantage

- ・ 署名長が小さい

ex) Rainbow (Round 3) は Security Level (SL) 1 で約 500 bits

- ・ 効率的な実装が可能 約 140-bit security

比較的小さいサイズの有限体上で構成可能 (\mathbb{F}_{2^8} など)

Disadvantage

- ・ 多くの方式で安全性証明が存在しない
- ・ 公開鍵、秘密鍵のサイズが大きい

一般的に $O(mn^2)$ ex) Rainbow (Round 3) の公開鍵は SL1 で約 50 KB

安全性

多くの方式で安全性証明はなされていない

(例外：MQDSS など)

以下の2つの問題の困難性に依拠すると考えられている

- **MQ problem**
- **Extended Isomorphism of Polynomials (EIP) problem**

$\mathcal{P}(= \mathcal{T} \circ \mathcal{F} \circ \mathcal{S})$ を入力として、 $(\mathcal{T}, \mathcal{F}, \mathcal{S})$ もしくは同様の性質を満たす $(\mathcal{T}', \mathcal{F}', \mathcal{S}')$ を求める問題。

MQ, EIP に対する求解アルゴリズムの

計算量を考慮してパラメータが設定されている

行列表現

二次多項式： $p_k(x_1, \dots, x_n) = \sum_{i \leq j} a_{i,j} x_i x_j$

$$MP_k = \begin{bmatrix} a_{1,1} & a_{1,2} & a_{1,3} & \cdots & a_{1,n} \\ 0 & a_{2,2} & a_{2,3} & \cdots & a_{2,n} \\ 0 & 0 & a_{3,3} & & a_{3,n} \\ \vdots & & \ddots & & \vdots \\ 0 & 0 & \cdots & 0 & a_{n,n} \end{bmatrix} \in \mathbb{F}_q^{n \times n}$$

$$p_k(x_1, \dots, x_n) = (x_1, \dots, x_n) \cdot MP_k \cdot (x_1, \dots, x_n)^\top$$

※ $(n+1) \times (n+1)$ 行列を用いることで、

線形項・定数項を表現可能

・用途に応じて**対称行列**を用いる

行列表現

公開鍵: $\mathcal{P} = (p_1, \dots, p_m) \Rightarrow MP_1, \dots, MP_m$

秘密鍵: $\mathcal{F} = (f_1, \dots, f_m) \Rightarrow MF_1, \dots, MF_m$

$$\mathcal{S}: \mathbb{F}_q^n \rightarrow \mathbb{F}_q^n \Rightarrow MS \in \mathbb{F}_q^{n \times n}$$

$$\times \mathcal{S}(x_1, \dots, x_n) = (x_1, \dots, x_n) \cdot MS$$

$$\mathcal{T}: \mathbb{F}_q^m \rightarrow \mathbb{F}_q^m \Rightarrow MT \in \mathbb{F}_q^{m \times m}$$

$$\times \mathcal{T}(x_1, \dots, x_m) = (x_1, \dots, x_m) \cdot MT$$

$\mathcal{P} = \mathcal{T} \circ \mathcal{F} \circ \mathcal{S}$ より

$$(MP_1, \dots, MP_m) =$$

$$(MS \cdot MF_1 \cdot MS^\top, \dots, MS \cdot MF_n \cdot MS^\top) \cdot MT$$

多変数多項式署名

Big Field

Matsumoto-Imai [1988]

HFE [1996]

SFLASH [2002]

HFEv- [1999]

• Gui [2015]

• GeMSS [2017]

NIST round 1 and 2 candidates

NIST round 3 candidates

Small Field

OV [1997]

UOV [1999]

• Rainbow [2005] • QR-UOV [2021]

• LUOV [2017] • MAYO [2021]

本講演で取り扱う手法

目次

- 多変数多項式暗号

- **Matsumoto-Imai**

- HFE

- UOV

- Rainbow

- QR-UOV

- まとめ

Big Field

Small Field

Matsumoto-Imai (MI) [Matsumoto, Imai, EUROCRYPT 1988]

- Matsumoto, Imai によって 1988 年に提案
- 最初に提案された多変数多項式暗号方式のひとつ
- 1995 年に Patarin によって攻撃手法が提案 [Patarin, CRYPTO 1995]
- HFE などが本方式に基づいて構成されている

準備

- $q = 2^r$
- $g(t) \in \mathbb{F}_q[t]$: 既約多項式 (次数 n)
- $\mathbb{E} = \mathbb{F}_q[t]/g(t) \cong \mathbb{F}_{q^n}$
- $\phi: \mathbb{F}_q^n \rightarrow \mathbb{E}$
 $(x_1, \dots, x_n) \mapsto x_1 + x_2 t + \dots + x_n t^{n-1}$

$1, t, t^2, \dots, t^{n-1}$ は
 \mathbb{E} の \mathbb{F}_q 上の基底

Central Map

\mathcal{F} の構成法 $0 < \theta < n, \gcd(q^n - 1, q^\theta + 1) = 1$

$$\bar{\mathcal{F}}(X) = X^{q^\theta + 1} : \mathbb{E} \rightarrow \mathbb{E}$$

$$\mathcal{F} = \phi^{-1} \circ \bar{\mathcal{F}} \circ \phi : \mathbb{F}_q^n \rightarrow \mathbb{F}_q^n$$

$\bar{\mathcal{F}}$ の構造を利用した
攻撃によって破られた
[Patarin, CRYPTO 1995]

\mathcal{F}^{-1} ($\bar{\mathcal{F}}^{-1}$) の計算方法

$\gcd(q^n - 1, q^\theta + 1) = 1$ より、

$h(q^\theta + 1) \equiv 1 \pmod{q^n - 1}$ となる整数 h が存在

$Y = \bar{\mathcal{F}}(X) = X^{q^\theta + 1}$ とおくと

$$Y^h = X^{h(q^\theta + 1)} = X^{k(q^n - 1) + 1} = X$$

Central Map

- \mathcal{F} は二次多項式系 ($X = x_1 + x_2t + \dots + x_nt^{n-1}$)

$$X^{q^\theta+1} = X^{q^\theta} \cdot X$$

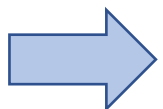
$$\begin{aligned} & (x_1 + x_2t + \dots + x_nt^{n-1})^q \\ &= x_1^q + (x_2t)^q + \dots + (x_nt^{n-1})^q \\ &= x_1 + x_2t^q + \dots + x_nt^{(n-1)q} \end{aligned}$$

$1, t, \dots, t^{n-1}$ の線形和で記述可能

各係数の次数は1次

$$x_1 + x_2t + \dots + x_nt^{n-1}$$

各係数の次数は1次



$X^{q^\theta+1}$ の各係数は x_1, \dots, x_n についての2次式

例

- $q = 2, n = 3, \theta = 2$

- $\mathbb{E} = \mathbb{F}_2[t]/(t^3 + t + 1)$

- $\bar{\mathcal{F}}(X) = X^{q^\theta+1} = X^5$

$$\bar{\mathcal{F}} \circ \phi(x_1, x_2, x_3) = (x_1 + x_2t + x_3t^2)^5$$

$$= (x_1 + x_2t + x_3t^2)^4 \cdot (x_1 + x_2t + x_3t^2)$$

$$= (x_1 + x_2t^4 + x_3t^8) \cdot (x_1 + x_2t + x_3t^2)$$

$\quad \quad \quad = t + t^2 \quad \quad = t^2$

$$= (x_1 + x_2t + (x_2 + x_3)t^2) \cdot (x_1 + x_2t + x_3t^2)$$

$$= (x_1^2 + x_2^2) + (x_2^2 + x_2x_3 + x_3^2)t + (x_1x_2 + x_2^2 + x_2x_3 + x_3^2)t^2$$

Central map

$$\mathcal{F} = (f_1, f_2, f_3)$$

$$f_1 = x_1^2 + x_2^2$$

$$f_2 = x_2^2 + x_2x_3 + x_3^2$$

$$f_3 = x_1x_2 + x_2^2 + x_2x_3 + x_3^2$$

目次

- 多変数多項式暗号
- Matsumoto-Imai
- **HFE**
- UOV
- Rainbow
- QR-UOV
- まとめ

Hidden Fields Equations (HFE)

- 1996 年に Patarin によって提案
- MI を攻撃手法に対して安全化する形で提案

\mathcal{F} の構成法 $D \in \mathbb{N}$

$$\bar{\mathcal{F}}(X) = \sum_{i,j=0}^{q^i+q^j \leq D} \alpha_{ij} X^{q^i+q^j} + \sum_{i=0}^{q^i \leq D} \beta_i X^{q^i} + \gamma$$

$$(\alpha_{ij}, \beta_i, \gamma \in \mathbb{E})$$

$$\mathcal{F} = \phi^{-1} \circ \bar{\mathcal{F}} \circ \phi$$

MI から構成を一般化

$$(MI: \bar{\mathcal{F}}(X) = X^{q^\theta+1})$$

HFE

$$\begin{aligned}\bar{\mathcal{F}}(X) &= \sum_{i,j=0}^{q^i+q^j \leq D} \alpha_{ij} \underline{X^{q^i+q^j}} + \sum_{i=0}^{q^i \leq D} \beta_i X^{q^i} + \gamma \\ &= X^{q^i} \cdot X^{q^j}\end{aligned}$$

それぞれ $1, t, \dots, t^{n-1}$ の各係数は

x_1, \dots, x_n についての一次式 ($X = x_1 + x_2 t + \dots + x_n t^{n-1}$)

(MI と同様)

$\mathcal{F}^{-1} (\bar{\mathcal{F}}^{-1})$ の計算方法

- $\bar{\mathcal{F}}$ は X についての一変数多項式であるため
多項式時間で逆像を計算可能

(e.g., Berlekamp's algorithm, Cantor-Zassenhaus algorithm)

HFE Modifications

- HFE の安全性はパラメータ D に強く依存する
- D を大きくすると署名生成の効率性が下がる
- 安全性を高めるための改良法が提案される
 - Minus (-)
 - Projection (p)
 - Vinegar (v)
- **HFEv-** (HFE with minus and vinegar modifications)
から派生した Gui, GeMSS が NIST の候補に選ばれる
- 2021年に Tao らによって (v), (-) が安全性の向上に効果的ではないことが示される [Tao et al., CRYPTO 2021]

目次

- 多変数多項式暗号

- Matsumoto-Imai

- HFE

- **UOV**

- Rainbow

- QR-UOV

- まとめ

Big Field

Small Field

Unbalanced Oil and Vinegar (UOV)

- Oil and Vinegar (OV) [Patarin, 1997] からパラメータを修正するかたちで、Kipnis らによって 1999 年に提案される
- Rainbow, LUOV などが本方式に基づいて構成される
- 公開鍵は $\mathcal{P} = \mathcal{F} \circ \mathcal{S}$ の形で構成される
(線型写像 \mathcal{T} は安全性に影響しない)
- 現時点で安全な方式であると考えられている

Central Map

\mathcal{F} の構成法 $v \in \mathbb{N}$ (一般的には $v = n - m$)

x_1, \dots, x_v : **vinegar** variables

x_{v+1}, \dots, x_n : **oil** variables

※ $v > n - v = m$ (**unbalanced**)

$$\mathcal{F} = (f_1, \dots, f_m): \mathbb{F}_q^n \rightarrow \mathbb{F}_q^m$$

$$f_k = \sum_{i=1}^n \sum_{j=1}^v a_{i,j}^{(k)} x_i x_j \quad \text{※ 一次、定数項は省略}$$

$$MF_k = \begin{array}{c|c} & \begin{array}{c} v \\ m \end{array} \\ \hline & \begin{array}{c} \text{orange} \\ \text{blue} \end{array} \\ \hline \begin{array}{c} \text{orange} \\ \text{blue} \end{array} & \begin{array}{c} \text{white} \\ \text{white} \end{array} \end{array} \quad \Leftrightarrow m \times m$$

Central Map

\mathcal{F}^{-1} の計算法

① x_1, \dots, x_v (vinegar variables) をランダムに固定

$$\begin{aligned} f_k &= \sum_{i=1}^n \sum_{j=1}^v a_{ij}^{(k)} x_i x_j \\ &= \sum_{i=1}^v \sum_{j=1}^v a_{ij}^{(k)} x_i x_j + \sum_{i=v+1}^n \sum_{j=1}^v a_{ij}^{(k)} x_i x_j \end{aligned}$$

② x_{v+1}, \dots, x_n (oil variables) についての線形方程式を解く
(m equations, m variables)

※ ② で解が存在しない場合、①に戻る

例

$$\cdot q = 3, n = 4, m = 2, v = 2$$

$$\begin{cases} f_1(\mathbf{x}) = x_1^2 + 2x_1x_2 + 2x_1x_4 + x_2^2 + 2x_2x_4 \\ f_2(\mathbf{x}) = x_1x_2 + x_1x_4 + x_2x_3 + 2x_2x_4 \end{cases}$$

$$\text{Solve } \mathcal{F}(\mathbf{x}) = (0,1)$$

$$\text{Fix } (x_1, x_2) = (0,2) \Rightarrow \begin{cases} x_4 + 1 = 0 \\ 2x_3 + x_4 = 1 \end{cases}$$

ランダムな値

$$(x_3, x_4) = (1,2)$$

$$\Rightarrow \mathcal{F}(0,2,1,2) = (0,1)$$

目次

- 多変数多項式暗号
- Matsumoto-Imai
- HFE
- UOV
- **Rainbow**
- QR-UOV
- まとめ

Rainbow

[Ding, Schmidt, ACMS 2005]

Rainbow

- Ding, Schmidt によって 2005 年に提案
- UOV を **多層化** することによって構成
- UOV と比較して鍵長・署名長を削減
- 2022 年に Beullens によって新たな攻撃手法が提案される
(パラメータの大幅な増加) [Beullens, CRYPTO 2022]

Central Map

\mathcal{F} の構成法 $(v, o_1, o_2) \quad \ast \quad n = v + o_1 + o_2, m = o_1 + o_2$

$\underbrace{x_1, \dots, x_v}_v, \underbrace{x_{v+1}, \dots, x_{v+o_1}}_{o_1}, \underbrace{x_{v+o_1+1}, \dots, x_n}_{o_2}$

$$\mathcal{F} = (f_1, \dots, f_m): \mathbb{F}_q^n \rightarrow \mathbb{F}_q^m$$

$$f_k = \sum_{i=1}^{v+o_1} \sum_{j=1}^v \alpha_{ij}^{(k)} x_i x_j \quad (1 \leq k \leq o_1)$$

$$f_k = \sum_{i=1}^n \sum_{j=1}^{v+o_1} \alpha_{ij}^{(k)} x_i x_j \quad (o_1 + 1 \leq k \leq m)$$

$(1 \leq k \leq o_1)$

$$MF_k =$$

$v \quad o_1 \quad o_2$

$(o_1 + 1 \leq k \leq m)$

$$MF_k =$$

$o_2 \times o_2 \hat{u}$

Central Map

\mathcal{F}^{-1} の計算法

① x_1, \dots, x_v の値をランダムに固定

$$(1 \leq k \leq o_1) \quad f_k = \sum_{i=1}^v \sum_{j=1}^v a_{ij}^{(k)} x_i x_j + \sum_{i=v+1}^{v+o_1} \sum_{j=1}^v a_{ij}^{(k)} x_i x_j$$

② $x_{v+1}, \dots, x_{v+o_1}$ についての線型方程式を解く (o_1 equations, o_1 variables)

③ $x_1, \dots, x_v, x_{v+1}, \dots, x_{v+o_1}$ を f_{o_1+1}, \dots, f_m に代入

$$\begin{aligned} f_k = & \sum_{i=1}^v \sum_{j=1}^v a_{ij}^{(k)} x_i x_j + \sum_{i=v+1}^{v+o_1} \sum_{j=1}^v a_{ij}^{(k)} x_i x_j + \sum_{i=v+1}^{v+o_1} \sum_{j=v+1}^{v+o_1} a_{ij}^{(k)} x_i x_j \\ & + \sum_{i=v+o_1+1}^n \sum_{j=1}^v a_{ij}^{(k)} x_i x_j + \sum_{i=v+o_1+1}^n \sum_{j=v+1}^{v+o_1} a_{ij}^{(k)} x_i x_j \end{aligned}$$

④ x_{v+o_1+1}, \dots, x_n についての線型方程式を解く

(o_2 equations, o_2 variables)

UOV との関係性

- 基本的に多項式の数 m は MQ 問題を解く計算量により決定される
- UOV では $v(= n - m) \approx 2m$ とする必要がある (UOV attack)
 \Rightarrow n が大きい値になる
- Rainbow では、 f_1, \dots, f_m で Oil 変数として振る舞うのは x_{v+o_1+1}, \dots, x_n のみ
($x_{v+1}, \dots, x_{v+o_1}$ は f_1, \dots, f_{o_1} でのみ Oil 変数)
- $v + o_1 \approx 2o_2$ を満たせば良い
- $m = o_1 + o_2$ に対して v を比較的小さくとれる
 \Rightarrow $n (= v + m)$ が小さくなる

MinRank 問題

$$(1 \leq k \leq o_1) \quad MF_k = \begin{array}{c|cc} & v & o_1 & o_2 \\ \hline & \text{orange} & \text{blue} & \text{white} \\ & \text{blue} & \text{white} & \text{white} \\ & \text{white} & \text{white} & \text{white} \end{array}$$

$$\Rightarrow \text{rank } MF_k = v + o_1$$

$$(o_1 + 1 \leq k \leq m) \quad MF_k = \begin{array}{c|cc} & v & o_1 & o_2 \\ \hline & \text{orange} & \text{blue} & \text{green} \\ & \text{blue} & \text{blue} & \text{green} \\ & \text{green} & \text{blue} & \text{white} \end{array}$$

$$\Rightarrow \text{rank } MF_k = n$$

MinRank 問題

Given $A_1, \dots, A_k \in \mathbb{F}_q^{a \times b}$ and $r < \text{Min}\{a, b\}$,

find $t_1, \dots, t_k \in \mathbb{F}_q$ such that $\text{rank}(\sum_i t_i A_i) \leq r$.

➡ EIP を MinRank とみなせる (解が秘密鍵 \mathcal{T} に対応)

- HFE にも適用可能
- 求解手法は次の講演で紹介する

目次

- 多変数多項式暗号
- Matsumoto-Imai
- HFE
- UOV
- Rainbow
- **QR-UOV**
- まとめ

Quotient Ring (QR) UOV

- 2021 年に Furue らによって提案される
- UOV と同様に公開鍵は $\mathcal{P} = \mathcal{F} \circ \mathcal{S}$ の形で構成される
- 公開鍵、秘密鍵を行列で表現

$$MP_k = MS^T \cdot MF_k \cdot MS$$

- UOV の公開鍵、秘密鍵（行列）に**剰余環** ($\mathbb{F}_q[x]/(f)$) の構造を導入することで構成
- UOV から**公開鍵長を削減**

Quotient Ring $\mathbb{F}_q[x]/(f)$ の行列表現

[定義] Polynomial Matrix Φ_g^f

$\ell \in \mathbb{N}, f \in \mathbb{F}_q[x]$ ($\deg f = \ell$)

$\forall g \in \mathbb{F}_q[x]/(f), \ell \times \ell$ 行列 Φ_g^f :

$$(1, x, \dots, x^{\ell-1}) \Phi_g^f = (g, xg, \dots, x^{\ell-1}g)$$

例) $q = 2, f = x^3 + x + 1, g = ax^2 + bx + c$ ($a, b, c \in \mathbb{F}_2$)

$$\Rightarrow \Phi_g^f = \begin{pmatrix} a & c & b \\ b & a+c & b+c \\ c & b & a+c \end{pmatrix}$$

3×3 行列を
3つの要素で表現可能



公開鍵 MP_i ($i = 1, \dots, m$) に Φ_g^f を
導入できれば、公開鍵長を削減可能

UOV への適用

$$\{\Phi_g^f \mid g \in \mathbb{F}_q[x]/(f)\} \cong \mathbb{F}_q[x]/(f)$$

$$\cdot \Phi_{g_1}^f + \Phi_{g_2}^f = \Phi_{g_1+g_2}^f$$

$$\cdot \Phi_{g_1}^f \cdot \Phi_{g_2}^f = \Phi_{g_1 \cdot g_2}^f$$

Secret key $MS, MF_i (i = 1, \dots, m)$: block Φ_g^f matrix

$$\begin{pmatrix} \Phi_{g_{11}}^f & \Phi_{g_{12}}^f & \Phi_{g_{13}}^f \\ \Phi_{g_{21}}^f & \Phi_{g_{22}}^f & \Phi_{g_{23}}^f \\ \Phi_{g_{31}}^f & \Phi_{g_{32}}^f & \Phi_{g_{33}}^f \end{pmatrix}$$

\Rightarrow Public key $MP_i = MS^T \cdot MF_i \cdot MS (i = 1, \dots, m)$:

block Φ_g^f matrix?

MS^T は Φ_g^f とは限らない

UOV への適用

$W \in \mathbb{F}_q^{\ell \times \ell}$ s.t. $\forall g \in \mathbb{F}_q[x]/(f)$, $W\Phi_g^f$: **symmetric**

- MF_i : block $W\Phi_g^f$ matrices ($i = 1, \dots, m$)
- MS : block Φ_g^f matrix

$$\begin{aligned}(\Phi_{g_2}^f)^\top (W\Phi_{g_1}^f)\Phi_{g_2}^f &= (\Phi_{g_2}^f)^\top W^\top \Phi_{g_1}^f \Phi_{g_2}^f \quad [W \text{ is symmetric since } \Phi_1^f = I_\ell.] \\ &= (W\Phi_{g_2}^f)^\top \Phi_{g_1}^f \Phi_{g_2}^f \\ &= (W\Phi_{g_2}^f)\Phi_{g_1}^f \Phi_{g_2}^f = W\Phi_{g_2 g_1 g_2}^f\end{aligned}$$

MP_i ($= MS^\top \cdot MF_i \cdot MS$): **block $W\Phi_g^f$ matrices**

Quotient Ring $\mathbb{F}_q[x]/(f)$ の行列表現

Proposition

- $f = x^\ell - ax^i - 1$ ($a \in \mathbb{F}_q, 1 \leq i \leq \ell - 1$)

- $W = \begin{pmatrix} J_i & 0_{i \times (\ell-i)} \\ 0_{(\ell-i) \times i} & J_{\ell-i} \end{pmatrix} \quad \ast \quad J_\ell := \begin{pmatrix} & & 1 \\ & \ddots & \\ 1 & & \end{pmatrix}$

$\Rightarrow W\Phi_g^f$: 対称行列

例) $q = 2, f = x^3 + x + 1, g = ax^2 + bx + c$ ($a, b, c \in \mathbb{F}_2$)

$$\Phi_g^f = \begin{pmatrix} a & c & b \\ b & a+c & b+c \\ c & b & a+c \end{pmatrix} \Rightarrow W\Phi_g^f = \begin{pmatrix} a & c & b \\ c & b & a+c \\ b & a+c & b+c \end{pmatrix}$$

$$\begin{pmatrix} 1 & 0 & 0 \\ 0 & 0 & 1 \\ 0 & 1 & 0 \end{pmatrix}$$

QR-UOV

鍵生成

① **既約多項式**: $f = x^\ell - ax^i - 1$ (安全性のため)

$W \in \mathbb{F}_q^{\ell \times \ell}$ s.t. $\forall g \in \mathbb{F}_q[x]/(f), W\Phi_g^f$: 対称

② MF_i : block $W\Phi_g^f$ matrices ($i = 1, \dots, m$)

MS : block Φ_g^f matrix

③ 公開鍵の表現行列 MP_i ($i = 1, \dots, m$) を

$MP_i = MS^T \cdot MF_i \cdot MS$ によって求める

$\Rightarrow MP_i$: block $W\Phi_g^f$ matrices

QR-UOV

⇒ MP_i : Block $W\Phi_g^f$ Matrix

$$\begin{pmatrix} \boxed{0} & \boxed{5} & \boxed{1} & \boxed{3} & \boxed{0} & \boxed{1} \\ 5 & 1 & 1 & 0 & 1 & 3 \\ 1 & 1 & 1 & 1 & 3 & 3 \\ \hline \boxed{6} & \boxed{5} & \boxed{6} & \boxed{0} & \boxed{5} & \boxed{4} \\ 5 & 6 & 3 & 5 & 4 & 1 \\ 6 & 3 & 2 & 4 & 1 & 3 \end{pmatrix}$$

$$(q = 7, f = x^3 - 3x - 1)$$

$n \times n$ 行列を n^2/ℓ 個の成分で表現可能
(ブロックサイズ: $\ell \times \ell$)



公開鍵長を削減

安全性

- **EIP**: \mathbb{F}_{q^ℓ} 上の UOV とみなせる
- **MQ**: ランダムな MQ と同様の振る舞いを見せることを実験的に確認

公開鍵長・署名長の比較

NIST Security Level 1 (143 gates security)

※ Czypek らによる公開鍵長の削減手法を適用 [Czypek et al., CHES 2012]

(Rainbow に対しては Petzoldt による手法を適用 [Petzoldt, PQCrypto 2020])

方式	パラメータ	public key (KB)	signature (B)
UOV *	$(q, n, m) = (256, 112, 44)$	278.4	112.0
Rainbow *	$(q, v, o_1, o_2) = (256, 68, 32, 48)$	258.4	164.0
QR-UOV	$(q, v, m, \ell) = (7, 189, 72, 3)$	23.8	113.9

*: <https://groups.google.com/a/list.nist.gov/g/pqc-forum>

※ 処理速度は UOV, Rainbow が効率的

目次

- 多変数多項式暗号
- Matsumoto-Imai
- HFE
- UOV
- Rainbow
- QR-UOV
- **まとめ**

まとめ

- 多変数多項式問題に基づく署名方式の標準的な構成方法について紹介した
- 主要な多変数多項式署名方式を紹介した
MI, HFE, UOV, Rainbow, QR-UOV
- 主要な攻撃方法としては MQ 問題、MinRank 問題の求解などがあげられる

今後の課題（署名方式の構成）

- 既存方式の効率化は可能か
 - 公開鍵サイズの削減など
- 新たな中心写像の構成